

# Starkniederschlagshöhen und -spenden gemäß KOSTRA-DWD-2020

## Rasterfeld 204106

(Zeile 204, Spalte 106)

### Regenspende und Bemessungsniederschlagswerte in Abhängigkeit von Wiederkehrzeit T und Dauerstufe D

| Dauerstufe D |     | Wiederkehrzeit T |            |      |            |      |            |      |            |      |            |       |            |       |            |       |            |       |            |
|--------------|-----|------------------|------------|------|------------|------|------------|------|------------|------|------------|-------|------------|-------|------------|-------|------------|-------|------------|
|              |     | 1 a              |            | 2 a  |            | 3 a  |            | 5 a  |            | 10 a |            | 20 a  |            | 30 a  |            | 50 a  |            | 100 a |            |
| min          | Std | mm               | l / (s ha) | mm   | l / (s ha) | mm   | l / (s ha) | mm   | l / (s ha) | mm   | l / (s ha) | mm    | l / (s ha) | mm    | l / (s ha) | mm    | l / (s ha) | mm    | l / (s ha) |
| 5            |     | 8,4              | 280,0      | 10,1 | 336,7      | 11,1 | 370,0      | 12,5 | 416,7      | 14,5 | 483,3      | 16,5  | 550,0      | 17,9  | 596,7      | 19,6  | 653,3      | 22,2  | 740,0      |
| 10           |     | 11,1             | 185,0      | 13,4 | 223,3      | 14,8 | 246,7      | 16,7 | 278,3      | 19,3 | 321,7      | 22,1  | 368,3      | 23,9  | 398,3      | 26,2  | 436,7      | 29,6  | 493,3      |
| 15           |     | 12,8             | 142,2      | 15,4 | 171,1      | 17,0 | 188,9      | 19,1 | 212,2      | 22,2 | 246,7      | 25,3  | 281,1      | 27,4  | 304,4      | 30,1  | 334,4      | 34,0  | 377,8      |
| 20           |     | 14,0             | 116,7      | 16,8 | 140,0      | 18,6 | 155,0      | 20,9 | 174,2      | 24,2 | 201,7      | 27,7  | 230,8      | 29,9  | 249,2      | 32,9  | 274,2      | 37,1  | 309,2      |
| 30           |     | 15,7             | 87,2       | 18,8 | 104,4      | 20,8 | 115,6      | 23,4 | 130,0      | 27,1 | 150,6      | 31,0  | 172,2      | 33,5  | 186,1      | 36,8  | 204,4      | 41,6  | 231,1      |
| 45           |     | 17,4             | 64,4       | 20,9 | 77,4       | 23,1 | 85,6       | 26,0 | 96,3       | 30,1 | 111,5      | 34,4  | 127,4      | 37,2  | 137,8      | 40,9  | 151,5      | 46,1  | 170,7      |
| 60           | 1   | 18,6             | 51,7       | 22,4 | 62,2       | 24,8 | 68,9       | 27,9 | 77,5       | 32,3 | 89,7       | 36,9  | 102,5      | 39,9  | 110,8      | 43,8  | 121,7      | 49,5  | 137,5      |
| 90           | 1,5 | 20,5             | 38,0       | 24,6 | 45,6       | 27,2 | 50,4       | 30,6 | 56,7       | 35,5 | 65,7       | 40,5  | 75,0       | 43,8  | 81,1       | 48,1  | 89,1       | 54,3  | 100,6      |
| 120          | 2   | 21,8             | 30,3       | 26,3 | 36,5       | 29,0 | 40,3       | 32,6 | 45,3       | 37,9 | 52,6       | 43,2  | 60,0       | 46,7  | 64,9       | 51,4  | 71,4       | 58,0  | 80,6       |
| 180          | 3   | 23,9             | 22,1       | 28,7 | 26,6       | 31,7 | 29,4       | 35,7 | 33,1       | 41,4 | 38,3       | 47,2  | 43,7       | 51,1  | 47,3       | 56,1  | 51,9       | 63,3  | 58,6       |
| 240          | 4   | 25,4             | 17,6       | 30,6 | 21,3       | 33,8 | 23,5       | 38,0 | 26,4       | 44,0 | 30,6       | 50,3  | 34,9       | 54,4  | 37,8       | 59,7  | 41,5       | 67,4  | 46,8       |
| 360          | 6   | 27,7             | 12,8       | 33,3 | 15,4       | 36,8 | 17,0       | 41,4 | 19,2       | 48,0 | 22,2       | 54,8  | 25,4       | 59,2  | 27,4       | 65,1  | 30,1       | 73,4  | 34,0       |
| 540          | 9   | 30,1             | 9,3        | 36,3 | 11,2       | 40,1 | 12,4       | 45,1 | 13,9       | 52,2 | 16,1       | 59,7  | 18,4       | 64,5  | 19,9       | 70,9  | 21,9       | 80,0  | 24,7       |
| 720          | 12  | 32,0             | 7,4        | 38,5 | 8,9        | 42,5 | 9,8        | 47,8 | 11,1       | 55,5 | 12,8       | 63,3  | 14,7       | 68,5  | 15,9       | 75,3  | 17,4       | 84,9  | 19,7       |
| 1080         | 18  | 34,8             | 5,4        | 41,9 | 6,5        | 46,3 | 7,1        | 52,0 | 8,0        | 60,4 | 9,3        | 68,9  | 10,6       | 74,5  | 11,5       | 81,9  | 12,6       | 92,4  | 14,3       |
| 1440         | 24  | 36,9             | 4,3        | 44,5 | 5,2        | 49,1 | 5,7        | 55,2 | 6,4        | 64,1 | 7,4        | 73,1  | 8,5        | 79,1  | 9,2        | 86,9  | 10,1       | 98,1  | 11,4       |
| 2880         | 48  | 42,6             | 2,5        | 51,3 | 3,0        | 56,7 | 3,3        | 63,8 | 3,7        | 73,9 | 4,3        | 84,4  | 4,9        | 91,3  | 5,3        | 100,3 | 5,8        | 113,2 | 6,6        |
| 4320         | 72  | 46,4             | 1,8        | 55,8 | 2,2        | 61,6 | 2,4        | 69,3 | 2,7        | 80,4 | 3,1        | 91,8  | 3,5        | 99,2  | 3,8        | 109,0 | 4,2        | 123,0 | 4,7        |
| 5760         | 96  | 49,2             | 1,4        | 59,2 | 1,7        | 65,4 | 1,9        | 73,5 | 2,1        | 85,3 | 2,5        | 97,4  | 2,8        | 105,3 | 3,0        | 115,7 | 3,3        | 130,5 | 3,8        |
| 7200         | 120 | 51,5             | 1,2        | 62,0 | 1,4        | 68,5 | 1,6        | 77,0 | 1,8        | 89,3 | 2,1        | 101,9 | 2,4        | 110,2 | 2,6        | 121,1 | 2,8        | 136,7 | 3,2        |
| 8640         | 144 | 53,5             | 1,0        | 64,3 | 1,2        | 71,1 | 1,4        | 79,9 | 1,5        | 92,7 | 1,8        | 105,8 | 2,0        | 114,5 | 2,2        | 125,7 | 2,4        | 141,9 | 2,7        |
| 10080        | 168 | 55,2             | 0,9        | 66,4 | 1,1        | 73,4 | 1,2        | 82,5 | 1,4        | 95,7 | 1,6        | 109,3 | 1,8        | 118,1 | 2,0        | 129,8 | 2,1        | 146,5 | 2,4        |

# Starkniederschlagshöhen und -spenden gemäß KOSTRA-DWD-2020

## Rasterfeld 204106

(Zeile 204, Spalte 106)

### Örtliche Unsicherheiten in Abhängigkeit von Wiederkehrzeit T und Dauerstufe D

| Dauerstufe D |     | Wiederkehrzeit T |     |     |     |      |      |      |      |       |
|--------------|-----|------------------|-----|-----|-----|------|------|------|------|-------|
|              |     | 1 a              | 2 a | 3 a | 5 a | 10 a | 20 a | 30 a | 50 a | 100 a |
| min          | Std | ± %              | ± % | ± % | ± % | ± %  | ± %  | ± %  | ± %  | ± %   |
| 5            |     | 13               | 13  | 14  | 14  | 14   | 15   | 15   | 15   | 16    |
| 10           |     | 15               | 16  | 17  | 17  | 18   | 19   | 19   | 20   | 20    |
| 15           |     | 17               | 19  | 19  | 20  | 21   | 21   | 22   | 22   | 23    |
| 20           |     | 19               | 20  | 21  | 21  | 22   | 23   | 23   | 24   | 24    |
| 30           |     | 20               | 22  | 22  | 23  | 24   | 25   | 25   | 25   | 26    |
| 45           |     | 21               | 22  | 23  | 24  | 25   | 25   | 26   | 26   | 27    |
| 60           | 1   | 21               | 22  | 23  | 24  | 25   | 26   | 26   | 26   | 27    |
| 90           | 1,5 | 20               | 22  | 23  | 24  | 24   | 25   | 26   | 26   | 27    |
| 120          | 2   | 20               | 22  | 22  | 23  | 24   | 25   | 25   | 26   | 26    |
| 180          | 3   | 19               | 21  | 21  | 22  | 23   | 24   | 24   | 25   | 25    |
| 240          | 4   | 18               | 20  | 21  | 21  | 22   | 23   | 23   | 24   | 24    |
| 360          | 6   | 18               | 19  | 20  | 20  | 21   | 22   | 22   | 23   | 23    |
| 540          | 9   | 17               | 18  | 19  | 19  | 20   | 21   | 21   | 22   | 22    |
| 720          | 12  | 16               | 17  | 18  | 19  | 19   | 20   | 20   | 21   | 21    |
| 1080         | 18  | 16               | 17  | 17  | 18  | 19   | 19   | 19   | 20   | 20    |
| 1440         | 24  | 15               | 16  | 17  | 17  | 18   | 19   | 19   | 19   | 20    |
| 2880         | 48  | 15               | 16  | 16  | 16  | 17   | 18   | 18   | 18   | 18    |
| 4320         | 72  | 15               | 16  | 16  | 16  | 17   | 17   | 17   | 18   | 18    |
| 5760         | 96  | 16               | 16  | 16  | 16  | 17   | 17   | 17   | 18   | 18    |
| 7200         | 120 | 16               | 16  | 16  | 17  | 17   | 17   | 17   | 18   | 18    |
| 8640         | 144 | 17               | 16  | 17  | 17  | 17   | 17   | 17   | 18   | 18    |
| 10080        | 168 | 17               | 17  | 17  | 17  | 17   | 17   | 18   | 18   | 18    |

### Parameter für abweichende T und D

#### Lokationsparameter $\xi$ (Xi)

19,26304004

#### Skalenparameter $\alpha$ (Alpha)

5,45010564

#### Formparameter $\kappa$ (Kappa)

-0,1

#### 1. Koutsoyiannis-Parameter $\theta$ (Theta)

0,04196166

#### 2. Koutsoyiannis-Parameter $\eta$ (Eta)

0,79442044

Parameter für dauerstufenübergreifende Extremwertschätzung nach KOUTSOYIANNIS et al. 1998.

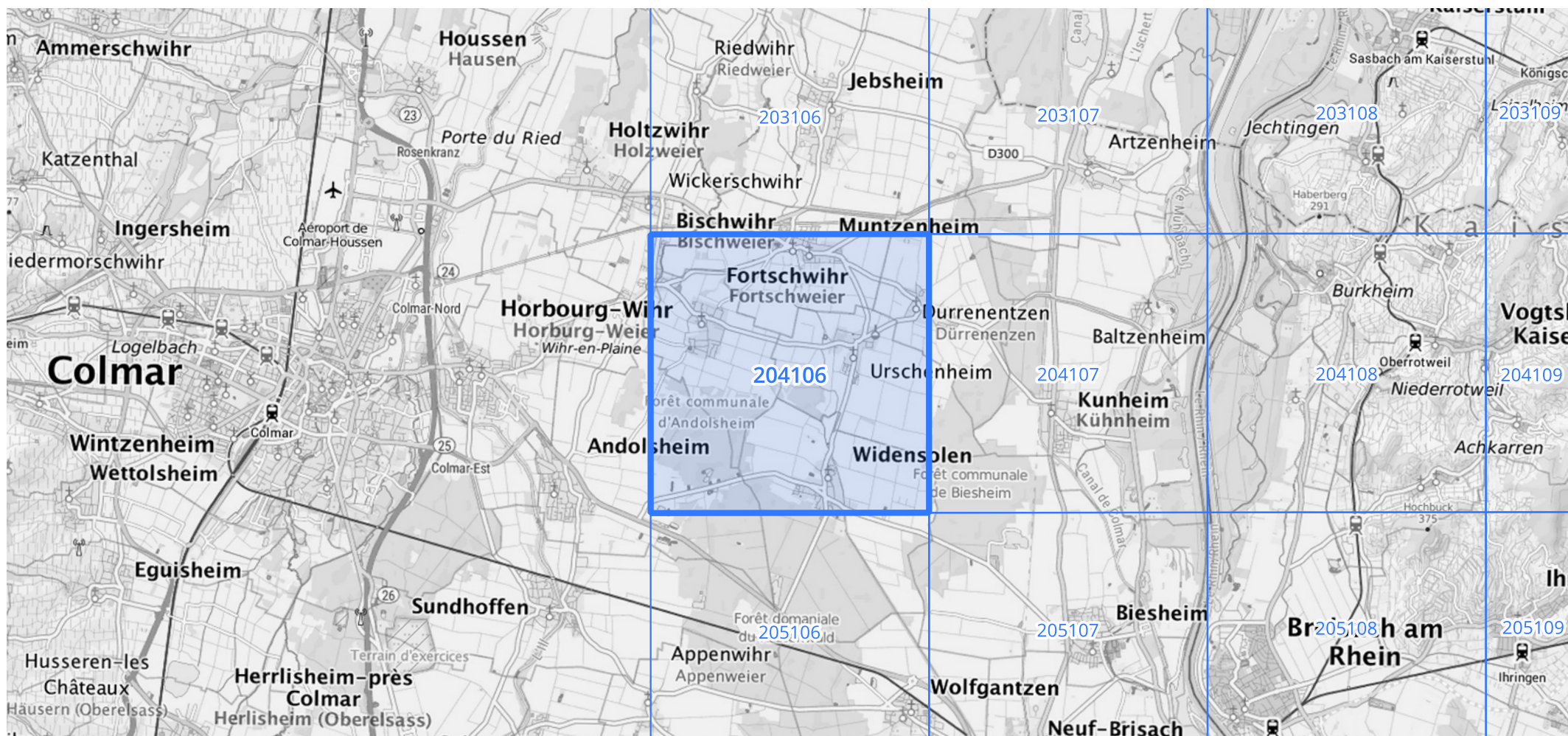
Siehe auch Anwendungshilfe zu KOSTRA-DWD-2020 des Deutschen Wetterdienstes.

## Starkniederschlagshöhen und -spenden gemäß KOSTRA-DWD-2020

## Rasterfeld 204106

(Zeile 204, Spalte 106)

Übersichtskarte des Rasterfeldes 204106, M 1 : 100 000



Quelle Rasterdaten: KOSTRA-DWD-2020 des Deutschen Wetterdienstes, Stand 12/2022.

Seite 3 von 3

Kartendarstellung: © Bundesamt für Kartographie und Geodäsie (2023), Datenquellen: [https://sgx.geodatenzentrum.de/web\\_public/gdz/datenquellen/Datenquellen\\_TopPlusOpen.html](https://sgx.geodatenzentrum.de/web_public/gdz/datenquellen/Datenquellen_TopPlusOpen.html)

Für die Richtigkeit und Aktualität der Angaben wird keine Gewähr übernommen. Erstellt 01/2023.